

بررسی شاخص‌های ناپایداری هنگام وقوع پدیده‌های آب و هوایی مخرب در مشهد

حسن صالحی^۱ - دانشجوی دکتری هواشناسی کشاورزی ، دانشگاه فردوسی مشهد، مشهد، ایران

سید حسین ثنایی نژاد- دانشیار هواشناسی کشاورزی، دانشگاه فردوسی مشهد، مشهد، ایران

محمد موسوی بایگی- استاد هواشناسی کشاورزی، دانشگاه فردوسی مشهد، مشهد، ایران

تاریخ تصویب: ۱۳۹۲/۸/۲۶ تاریخ دریافت: ۱۳۹۳/۱/۲۶

چکیده

از جمله مخاطرات محیطی مهم می‌توان به پدیده‌های آب و هوایی مخرب اشاره کرد که سالانه خسارات مالی و جانی بسیاری به بار می‌آورند. برای پیش‌بینی و مقابله با آثار زیانبار این پدیده‌ها، علاوه بر روش‌های همدیدی معمول، بررسی ساختار ترمودینامیکی جو در لایه‌های مختلف و تحلیل شاخص‌های ناپایداری ضروری است. در پیش‌بینی‌های عملی هواشناسی، شاخص‌های بسیاری برای ارزیابی پایداری اتمسفر و پیش‌بینی ناپایداری به کار می‌رود. تلاش‌های کمی برای بررسی این شاخص‌ها در ایران انجام شده و برای کالیبره کردن و معرفی آستانه‌ها، کاری انجام نشده است. در این مطالعه، سعی شده جمع‌بندی کاملی از حدود و آستانه شاخص‌های ناپایداری برای پیش‌بینی انواع پدیده‌های مخرب تهیه شود. بدین منظور، دقت مجموعه‌ای از پارامترها و شاخص‌ها، به طور ویژه برای مشهد محاسبه و بررسی شده است که عبارت‌اند از: شاخص شوالر، شاخص مجموع مجموع‌ها و فشار سطح تعادل، آب قابل بارش، عدد ریچاردسون، شاخص صعود LI، شاخص K و CAPE SWEAT Pdیده‌های آب و هوایی مخربی که در طی سال‌های ۱۹۸۰ تا ۲۰۰۹ در ایستگاه مشهد رخ داده، استخراج و در سه دسته برق، توفان تندری، تگرگ، دسته‌بندی و استفاده شده‌اند. روزهایی که این معیارها را نداشته‌اند، در دسته‌ای به نام بدون ناپایداری قرار گرفته‌اند. برای محاسبه مقادیر شاخص‌ها، از داده‌های جو بالای حاصل از ارسال رادیوسوند در ایستگاه مشهد استفاده شده است. این داده‌ها نسبت به وجود یا عدم پدیده‌های مخرب تحلیل، و نتایج این تحلیل‌ها بصورت نمودارهای باکس پلات و نقاط پراکنده برای نمایش بصری روابط و آستانه‌ها، در پدیده‌های مختلف ارائه شده است. درنهایت آستانه هر شاخص برای پیش‌بینی انواع پدیده‌ها در مشهد معرفی شده، و ترکیب شاخص صعود (LI) و انرژی پتانسیل در دسترس همرفتی (CAPE) و همچنین شاخص صعود و سطح تعادل، به عنوان بهترین شاخص‌های ترکیبی معرفی شدند.

کلیدواژه‌ها: پدیده‌های مخرب، پیش‌بینی، رادیوسوند، دینامیک جو، مشهد.

۱. مقدمه

پدیده‌های زیان‌بخش جوی همواره بر زندگی و فعالیت‌های بشری تأثیر داشته و هزاران سال است که انسان در جستجوی راههایی برای تعدیل شرایط اقلیمی و جوی نامساعد و مبارزه با مخاطرات طبیعی بوده است. تلاش انسان برای کم کردن ابعاد وسیع خسارت‌زاوی این پدیده‌ها، از به صدا درآوردن ناقوس کلیساها در قدیم، تا فعالیت‌های مکانیزه امروزه تحت عنوان کلی تعدیل آب و هو^۱ یا بارورسازی ابرها، را شامل می‌شود. این پژوهش‌ها در طی سالیان تکامل یافته و از نتایج مهم آن‌ها تهیه و معرفی دیاگرام‌های ترمودینامیکی و شاخص‌های ناپایداری بوده است. این شاخص‌ها اعدادی هستند که بوسیله درج کردن (پلات کردن) مجموعه نقاط کشف شده از گزارش رادیوسوند ارسال شده به اعماق جو (سوندینگ)^۲ روی نمودارهای ترمودینامیکی مانند اسکیوتی^۳، و ترسیم نمودار دما و نقطه شبنم به دست می‌آیند. شاخص‌های ناپایداری جهت بررسی ساختار قائم و چگونگی ناپایداری در جو بکار رفته، و مناسب بودن یا نبودن شرایط را برای تشکیل پدیده‌های مخرب نشان می‌دهند.

شوالتر^۴ (۱۹۵۳: ۲۵۲)، شاخصی به نام خودش (شاخص شوالتر)، گالوی^۵ (۱۹۵۶: ۵۲۹) شاخص صعود(LI)^۶، جرج (۱۹۶۰: ۵۴۷) شاخص K^۷ میلر (۱۹۷۲: ۱۰۲) شاخص خطر هوای مخرب (SWEAT)^۸ و شاخص مجموع مجموع‌ها^۹ (TT)، میلر و مانکریف^{۱۰} (۱۹۷۶: ۳۵۰) شاخص جامع و بسیار با ارزش انرژی پتانسیل در دسترس همرفتی (CAPE)^{۱۱} را معرفی کردند که نشان‌دهنده میزان شانس فعلیت توفان‌های تندی است. این شاخص‌ها برای پیش‌بینی همرفت یا پیش‌بینی مقدار بارش، متناسب با محل مورد بررسی تغییر می‌کنند و بهتر است که در هر منطقه با تحقیق و تجربه بدست آمده و کالیبره شوند. لذا در مناطق مختلف جهان توسط افرادی مانند هانتزیز^{۱۲} و همکاران (۱۹۹۷) در سویس و شمال کوههای آلپ، تامسون^{۱۳} (۱۹۹۸) بر روی شرق و غرب کوههای راکی، سیمونوف و گنورگیوف^{۱۴} (۲۰۰۱) در جنوب کوهستان رودوپس در شرق مدیترانه، کاستا^{۱۵} و همکاران (۲۰۰۱) در شمال ایتالیا، لاپتا^{۱۶} و همکاران (۲۰۰۲) در منطقه شمال شرق ایالات متحده، منزاتو^{۱۷} (۲۰۰۳) در منطقه‌ای از ونیز ایتالیا، سیوتاس و

1 Weather Modification

2 Sounding

3 Skew-T

4 Showalter Index (SI)

5 Galway

6 Lifted Index(LI)

7 Severe Weather Treat Index(SWEAT)

8 Total Total Index (TT)

9 Miller, and Moncrieff

10 Convective Available Potential Energy (CAPE)

11 Huntrieser

12 Thompson

13Simoenov, and Georgiev

14 Costa

15 LaPenta

16 Manzato

فلوکاس^۱ (۲۰۰۳) در شمال یونان، هاکلاتر و فان دلدن^۲ (۲۰۰۳) برای هلند، کراس و سانتوز^۳ (۲۰۰۴) در آلبرتا کانادا، کراون و بروکس^۴ (۲۰۰۴) در ۴۸ ایالت آمریکا، گروئن میر^۵ (۲۰۰۵) در شش ایستگاه جوبالی هلند، ماریناکی^۶ و همکاران (۲۰۰۶) در چند منطقه یونان، دال^۷ (۲۰۰۶) بر روی آلمان، گوتلیب^۸ (۲۰۰۹) برای شمال شرق ایالات متحده، توسکی^۹ (۲۰۰۹) در اروپای مرکزی محاسبه و آزمون شده و در برخی موارد آستانه‌هایی برای پیش‌بینی برخی پدیده‌های هواشناختی معرفی شده است. در ایران نیز امینی و همکاران (۱۳۸۲: ۸۷) در منطقه اصفهان، عبدمنافی (۱۳۸۳: ۹۸) در تهران، صادقی حسینی و همکاران (۱۳۸۴: ۲۰ و ۱۳۸۵: ۹۲) در تهران و اصفهان، ثانی نژاد و همکاران (۱۳۸۹: ۲۳۴) در مشهد، در مطالعاتی شاخص‌های ناپایداری را بررسی و آزمون کردند.

آستانه‌های ارائه شده در اغلب منابع علمی، مربوط به پدیده‌های هواشناختی کشورهای اروپایی و ایالات متحده آمریکا بوده که شرایط اقلیمی خاص آن مناطق، شاخص‌های ناپایداری مربوط به خود را دارد. محدود کارهای انجام شده در ایران نیز با استناد و مقایسه با همین آستانه‌ها نتیجه‌گیری شده که احتمال خطأ در آنها وجود دارد.

۲. منطقه مورد مطالعه

در این تحقیق، ایستگاه هواشناسی سینوپتیک و جو بالای مشهد با ارتفاع ۹۹۹ متر از سطح دریا و طول جغرافیایی^۱ ۳۸°۵۹' و عرض جغرافیایی^۱ ۱۶°۳۶' به عنوان محل برداشت داده و منطقه مورد مطالعه انتخاب شد. جهت انجام این مطالعه، ناپایداری‌های شدیدی که طی دوره آماری ۱۹۸۰ تا ۲۰۰۹ در ایستگاه سینوپتیک مشهد رخ داده و ثبت شده‌اند، استخراج و استفاده شده‌اند.

۳. مواد و روش‌ها

در این تحقیق، دقت چندین شاخص ناپایداری شامل انرژی پتانسیل در دسترس همرفتی، شاخص شوالتر، شاخص صعود ((LI)، شاخص K)، آب قابل بارش، شاخص مجموع مجموعه‌ها، شاخص خطر هوای مخرب (SWEAT)، شاخص بازدارندگی همرفتی، و عدد ریچاردسون، که برای تعیین و پیش‌بینی فعالیت‌های همرفتی بکار می‌روند، مورد بررسی و آزمون قرار گرفته است. بدین منظور، ناپایداری‌های شدید ثبت شده در ایستگاه هواشناسی سینوپتیک و جو بالای مشهد استخراج، و استفاده شده‌اند. معیارهای هوای مخرب شامل بادهای با سرعت بیش از ۲۵ متر بر ثانیه (۵۰ نات)، انواع نگرگ، برق، رعد و برق (با یا بدون بارش)، اسکوال، ابرهای قیفی شکل و ترندادو انتخاب

1 Sioutas, and Flocas

2 Haklander and Van Delden

3 Krauss, and Santos

4 Craven, and Brooks

5 Groenemeijer

6 Marinaki

7 Dahl

8 Gottlieb

9 Tuschy

شد. اگر در یک روز چند پدیده وجود داشت، پدیده با اهمیت بالاتر (کد بزرگتر) به عنوان پدیده آن روز انتخاب شده است. پدیده‌های مخرب استخراج شده، در سه دسته برق، توفان تندری، تگرگ، دسته بندي و استفاده شده‌اند. روزهایی که این معیارها را نداشته، و در واقع پدیده قابل توجهی نداشته‌اند، در دسته ای به نام "بی‌پدیده (بدون پدیده مخرب)" قرار گرفته‌اند. سپس، اطلاعات جو بالای معادل این ناپایداری‌ها از پایگاه دیارتمان علوم جوی دانشگاه وایومینگ آمریکا گرفته شده‌اند. از گزارش‌های رادیوسوند مربوط به ناپایداری‌های ثبت شده در ایستگاه مشهد، ۳۱۵ مورد در آرشیو این پایگاه داده‌ای موجود بوده و استخراج شده است، که ۲۱۷ سوندینگ مربوط به ساعت صفر گرینویچ، و ۹۸ عدد در ساعت ۱۲ گرینویچ انجام شده‌اند. سوندینگ‌های مربوط به روزهای وقوع هوای مخرب، جهت سهولت "سوندینگ شدید" نامیده شده‌اند. پس از بررسی گزارش‌های مربوط به ناپایداری‌ها، سوندینگ‌های شدید با توجه به نوع هوایی که تولید کرده‌اند، جداسازی شده و از مجموع سوندینگ‌های بی‌پدیده (بدون ناپایداری) نیز بطور تصادفی تعداد ۳۵۰ مورد، بررسی شده است. برای کترل کیفی، همه سوندینگ‌ها بطور دستی بازبینی شده و سوندینگ‌های بدون CAPE برای ناپایداری‌های شدید کنار گذشته شده‌اند، و همه شاخص‌ها با استفاده از تصحیح دمای مجازی محاسبه شده و بکار رفته‌اند (داسول و راسموسن، ۱۹۹۴: ۶۲۶).

سپس مقایسات و تحلیل‌های آماری لازم انجام شد. برای مقایسه داده‌ها و معرفی آستانه‌های هشدار وقوع انواع ناپایداری مختلف، از نمودارهای باکس پلات، و نمودار نقاط پراکنده استفاده شده است. کاربرد ترکیبی شاخص‌ها با همدیگر نیز برای پیش‌بینی رخدادهای مختلف بررسی شده است. اطلاعات آماری پایه برای شاخص‌ها در کل سوندینگ‌های شدید دوره آماری و نیز سوندینگ‌های بدون ناپایداری، استخراج و مقایسه‌هایی با آستانه شاخص‌ها در آمریکا (کراون و بروکس، ۲۰۰۴، ۲۰ و گوتلیب، ۲۰۰۹: ۱۷) انجام گردید که نتایج آن ارائه می‌گردد.

۴. بحث و نتایج

در این مطالعه، سعی شده است جمع بندی کاملی از حدود و آستانه پارامترها و شاخص‌های ناپایداری برای پیش‌بینی انواع ناپایداری‌ها در منطقه تهیه شود. بدین منظور، دقیت شاخص‌ها با بررسی آماری تعداد زیادی از سوندینگ‌های انجام شده در ایستگاه جو بالای مشهد بررسی شده است.

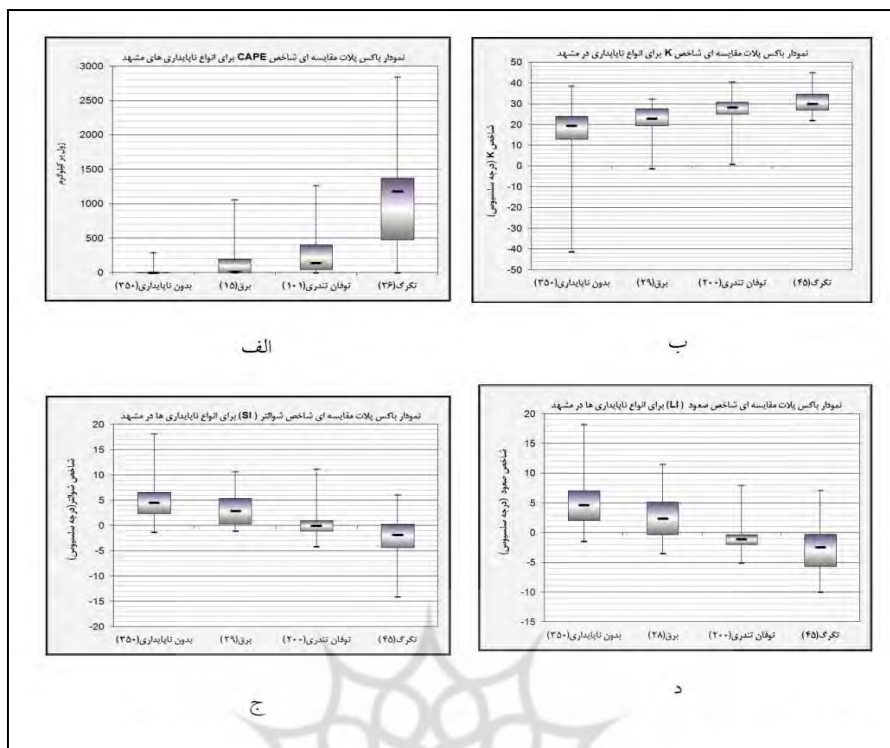
ابتدا اطلاعات آماری اولیه سوندینگ‌ها استخراج شده و مقایسه‌ای نیز بین شاخص‌های بدست آمده از سوندینگ‌های شدید ساعت ۰۰ و ۱۲ گرینویچ انجام شده و نتایج آن در جدول (۱) آمده است که به خوبی اهمیت سوندینگ ساعت ۱۲ گرینویچ (حدود ۳,۵ عصر محلی) را نشان می‌دهد. در این جدول، در شاخص‌هایی که افزایش مقدار آن‌ها، نشان دهنده افزایش ناپایداری است، مقادیر میانه و میانگین نسبت به ساعت ۰۰، بالاتر بوده و به طور مشابه در شاخص‌هایی که ناپایداری با کاهش آن‌ها افزایش می‌یابد (مانند شاخص صعود و شاخص شوالتر)، مقادیر میانه و میانگین ساعت ۱۲ بسیار کمتر بوده است. فقط شاخص بازدارندگی همرفتی (CIN)، از بقیه مستثنی و در ساعت ۱۲

ضعیفتر است. این بدین معنی است که اکثر شاخص‌ها در ساعت ۱۲ نسبت به ساعت ۰۰ برای پیش‌بینی شرایط ناپایداری، وضعیت بسیار بهتری داشته‌اند و این اطلاعات با توجه به اینکه اغلب ناپایداری‌های منطقه مورد مطالعه در عصر اتفاق می‌افتد، در پیش‌بینی‌های آنی^۱ و هشدارهای سریع انواع پدیدهای مخرب می‌توانند سودمند واقع شوند.

بنابراین، این نتایج نشان از اهمیت بالای سوندینگ ساعت ۱۲ بوده، و بر ضرورت انجام منظم آن تاکید می‌کند. آستانه‌های چهار شاخص مهم برای دسته‌های مختلف ناپایداری بررسی، و نتایج آن بصورت نمودارهای باکس‌پلات ارائه شده است (شکل ۱). در این نمودارها همپوشانی باکس‌ها، معنی‌داری تفاوت آماری بین داده‌های شاخص‌ها را نشان می‌دهد. بر روی محور افقی این نمودارها، دسته‌های مختلف ناپایداری در مقایسه با یکدیگر و نیز در مقایسه با دسته بدون ناپایداری به همراه تعداد نمونه هر دسته به تفکیک آورده شده است. محور عمودی نمودارها نیز مقادیر شاخص‌ها را بیان می‌کند.

جدول ۱ مقایسه مشخصات آماری شاخص‌ها بین سوندینگ‌های شدید ساعت ۰۰ و ۱۲ گرینویچ در مشهد

شاخص	زمان	میانگین	میانه	انحراف معیار	بیشینه	کمینه
Showalter Index (°C)	00 UTC	0.99	0.64	3.50	11.17	-11.22
	12 UTC	-1.03	-0.76	2.81	7.63	-14.04
Lifted Index (Tv) (°C)	00 UTC	0.34	-0.36	3.51	11.52	-9.96
	12 UTC	-2.24	-2.08	2.70	8.00	-7.37
SWEAT	00 UTC	154.39	143.03	74.97	418.21	25.17
	12 UTC	201.36	200.50	92.52	426.20	53.00
K Index (°C)	00 UTC	25.52	25.90	7.36	41.99	-1.30
	12 UTC	29.92	29.70	5.34	45.20	13.30
Cross Totals (°C)	00 UTC	19.90	19.90	4.09	33.90	7.50
	12 UTC	19.95	20.10	4.27	33.20	11.30
Vertical Totals (°C)	00 UTC	28.99	29.10	3.29	38.30	19.10
	12 UTC	32.27	32.50	3.34	39.10	22.40
Total Totals (°C)	00 UTC	48.89	49.20	5.60	72.20	32.20
	12 UTC	52.22	51.60	4.04	66.70	44.50
CAPE (Tv) (J kg ⁻¹)	00 UTC	165.70	59.16	268.64	1527.59	0.00
	12 UTC	564.02	369.32	542.53	2842.86	0.00
CIN (Tv) (J kg ⁻¹)	00 UTC	-209.66	-192.16	178.12	0.00	-633.30
	12 UTC	-72.10	-46.81	75.66	0.00	-352.12
EL Pressure(Tv) (hPa)	00 UTC	385.63	370.47	115.66	757.26	165.77
	12 UTC	311.32	284.29	87.80	586.72	197.87
BRN(Tv)	00 UTC	8.27	0.88	26.50	194.28	0.00
	12 UTC	13.78	8.39	18.96	106.08	0.00
Precipitable Water (mm)	00 UTC	19.82	18.98	5.51	33.52	7.58
	12 UTC	20.63	20.44	5.09	34.27	7.83



شکل ۱ مقایسه شاخص‌های مختلف در سوندینگ‌های شدید و بدون نایابداری در دوره آماری مشهد؛

تعداد سوندینگ مورد استفاده هر دسته در پرانتز آورده شده است.

از روی نمودار شکل (۱-الف) می‌توان قدرت جداسازی و پیش‌بینی انواع نایابداری‌ها و ارتباط شاخص انرژی پتانسیل در دسترس همرفتی را با وقوع رخدادهای مختلف مشاهده و تحلیل کرد. در دسته تگرگ، مقدار میانه این شاخص بیشتر از ۱۱۸۰ ژول برکیلوگرم بوده و ۷۵ درصد از همه رخدادهای تگرگ، مقدار CAPE بیش از ۴۷۰ ژول برکیلوگرم، و ۲۵ درصد آن‌ها بیش از ۱۳۷۵ ژول برکیلوگرم انرژی دارند. عدم همپوشانی باکس‌های توفان تندری و تگرگ، توانایی این شاخص در جداسازی این پدیده‌ها را نشان می‌دهد. از این نمودار می‌توان مقدار ۱۴۰ ژول برکیلوگرم شاخص CAPE را عنوان آستانه پایین وقوع توفان‌های تندری، و نیز مقدار ۴۷۵ ژول برکیلوگرم را به عنوان آستانه پایین برای وقوع پدیده تگرگ در مشهد معین کرد. همچنین می‌توان گفت که این شاخص به تنها بیان شدن قابل موارد برق و توفان تندری نمی‌باشد.

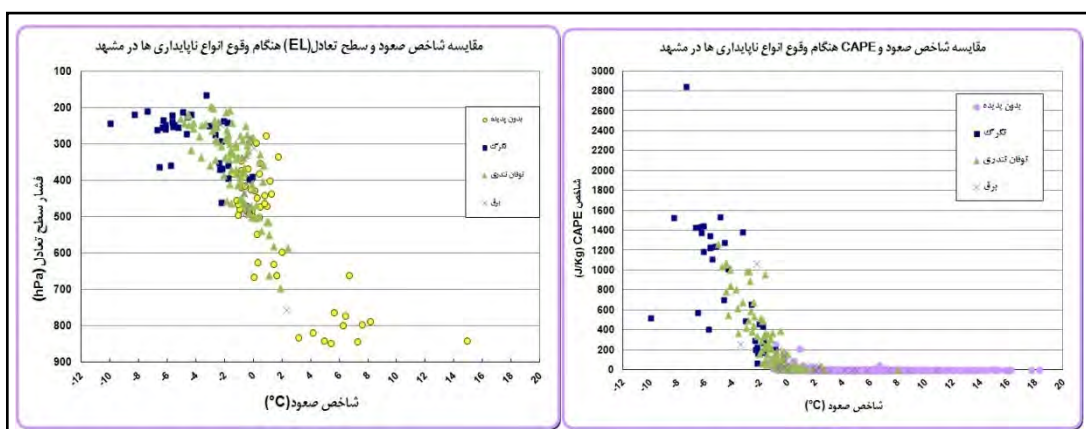
شاخص K امکان وقوع نایابداری را بر پایه آهنگ کاهش دما، محتوى رطوبتی لایه‌های زیرین جو و گسترش قائم لایه مرطوب اندازه‌گیری می‌کند و براساس درجه سلسیوس بیان می‌شود. هر چه این شاخص بیشتر باشد، بر شدت نایابداری افروزه می‌شود که این موضوع در نمودار نیز دیده می‌شود (شکل ۱-ب). می‌توان گفت که مقادیر زیر ۲۰ درجه این شاخص نایابداری ایجاد نمی‌کند. مقدار این شاخص در نیمی از داده‌های برق (میانه)، بالای ۲۳ درجه، و در ۷۵ درصد دسته تگرگ بالای ۲۷ درجه بوده، و میانه دسته تگرگ نیز بالای ۳۰ درجه می‌باشد. دسته

توفان تندری میانه بالای ۲۸ درجه دارند و چارک اول آن‌ها بالای ۲۵ درجه است. بنابراین از این نمودار می‌توان چنین نتیجه گرفت که مقدار ۲۴ درجه شاخص K، عنوان آستانه پایین وقوع پدیده برق، و مقدار ۲۸ درجه برای وقوع توفان‌های تندری و مقدار ۳۰ درجه برای پدیده تگرگ در مشهد مناسب به نظر می‌رسند. که این نتایج، با نتایجی که گوتلیب برای شمال شرق و دشت‌های میانی آمریکا بدست آورد، سازگاری خوبی دارد.

شاخص شوالتر نیز بر حسب درجه سلسیوس بیان می‌شود و هرچه منفی‌تر باشد، بر شدت ناپایداری جو افزوده می‌شود (شکل ۱-ج). می‌توان گفت که در مقادیر بیش از ۵ درجه این شاخص، آرامش بر جو منطقه حاکم است. مقادیر این شاخص برای پدیده‌های برق و حالت‌های بدون ناپایداری، همپوشانی زیادی دارند. دسته توفان تندری میانه زیر صفر درجه دارند و چارک سوم آن‌ها زیر یک درجه است. در ۷۵ درصد از دسته تگرگ، مقدار این شاخص زیر صفر درجه بوده، و میانه این دسته نیز زیر ۲ درجه می‌باشد. بنابراین می‌توان آستانه ۲ درجه را عنوان آستانه بالای شاخص شوالتر در وقوع پدیده برق، و نیز مقدار صفر درجه را به عنوان آستانه بالای وقوع توفان‌های تندری، و مقدار ۲ درجه را برای پدیده تگرگ در مشهد نتیجه گرفت.

هرچه شاخص صعود منفی‌تر باشد، صعود بسته هوا بیشتر شده، و در نتیجه بر شدت ناپایداری جو افزوده می‌شود، که این موضوع در این مطالعه نیز اثبات شده است (شکل ۱-د). در دسته بدون ناپایداری، اغلب مشخصات آماری این شاخص بالای صفر بوده است. هرچند که میانه دسته برق نسبت به دسته بدون ناپایداری، بیش از ۲ واحد کاهش نشان می‌دهد، باکس‌های این دو دسته همپوشانی زیادی دارند و این شاخص به خوبی قادر به جداسازی این دو دسته نمی‌باشد. در دو دسته برق و توفان‌های تندری همپوشانی وجود ندارد و این شاخص برخلاف شاخص CAPE قدرت خوبی در جداسازی این دو پدیده دارد. بنابراین می‌توان گفت که کاربرد ترکیبی این شاخص‌ها هنگام پیش‌بینی کاربردی نتیجه بهتری خواهد داد. براساس این نمودار می‌توان چنین نتیجه گرفت که هنگام وجود شاخص صعود مثبت نیز، احتمال وقوع ناپایداری شدید در منطقه زیاد است. این نتیجه جالب توجه و قدری شگفت‌آور است زیرا در بیشتر منابع و حتی توسط پیش‌بین‌ها برای اغلب نقاط از LI کمتر از صفر به عنوان آستانه استفاده می‌کنند (گوتلیب، ۲۰۰۹: ۱۷). درنهایت شاخص صعود ۱-درجه سلسیوس را می‌توان به عنوان آستانه بالا برای وقوع توفان تندری، و مقدار ۲,۵-درجه سلسیوس را می‌توان به عنوان آستانه بالا برای وقوع تگرگ بکار برد.

ترکیب شاخص‌های مختلف ناپایداری نیز با یکدیگر بررسی و نمودارهای نقاط پراکنده^۱، برای تجسم رابطه بین دو شاخص مختلف، و نشان دادن همزمان تفاوت‌های این دو شاخص در انواع ناپایداری‌ها بکار رفت. پس از بررسی این نمودارها برای شاخص‌های مختلف، شاخص صعود (LI) و انرژی پتانسیل در دسترس همرفتی (CAPE)، و همچنین شاخص صعود و سطح تعادل، رابطه بسیار خوبی با هم نشان دادند که در اغلب موارد، نتایج با یافته‌های گوتلیب، ۲۰۰۹ مطابقت دارد (شکل ۲).



شکل ۲ رابطه شاخص صعود با سطح تعادل (راست) و شاخص شاخص صعود با CAPE (چپ) هنگام وقوع ناپایداری‌های مختلف در مشهد

۵. نتیجه‌گیری

با بررسی و تحلیل مجموعه داده‌ای از سوندینگ‌های انجام شده در ایستگاه مشهد، در دوره آماری ۱۹۸۰ تا ۲۰۰۹ دریافتیم که استفاده از شاخص‌های ناپایداری، کارایی بسیار خوبی در پیش‌بینی و هشدار وقوع انواع ناپایداری‌های شدید در منطقه داشته و می‌تواند به عنوان یک روش تکمیلی قوی در کنار دیگر روش‌های پیش‌بینی به کار رود. در این مطالعه، سوندینگ ساعت ۱۲ نسبت به ساعت ۰۰ برای پیش‌بینی شرایط ناپایداری، وضعیت بسیار بهتری نشان داده است. همچنین آستانه‌هایی برای شاخص‌های مختلف جهت هشدار وقوع انواع ناپایداری‌ها در مشهد بدست آمده که در جدول (۲)، خلاصه شده است. برای شاخص‌های عدد ریچاردسون (BRN)، بازدارندگی همرفتی (CIN)، و ضخامت (تیکتس) نتایج مطلوبی گرفته نشده و این شاخص‌ها برای استناد جهت پیش‌بینی یا هشدار وقوع ناپایداری در منطقه مناسب دیده نشده‌اند. کاربرد این شاخص‌ها هریک به تنهاًی به عنوان پارامتر پیش‌بینی اشتباه بوده و لازم است که همه این شاخص‌ها در ترکیب با هم و در کنار روش‌های سینوپتیکی پیش‌بینی و نیز با استفاده از سایر پارامترهای جوی مانند الگوهای فشاری و باد در سطوح مختلف، نوع و مقدار ابرناکی، میزان رطوبت، سرعت حرکت توده‌های هوا، و غیره مورد استفاده قرار گیرند. پیشنهاد می‌شود بانک اطلاعاتی جامعی از ناپایداری‌های شدید اتفاق افتاده در سراسر کشور و منطقه تهییه، و انواع شاخص‌ها و پارامترهای حاصل از ارسال رادیوسوند محاسبه، و پایگاه داده‌ای دقیق و منظمی از اطلاعات جو بالا تهییه گردد.

جدول ۲ جمع بندی آستانه‌های بدست آمده برای شاخص‌های مختلف برای هشدار وقوع انواع ناپایداری در مشهد؛ علامت کمتر یا بیشتر، به ترتیب پایین یا بالا بودن آستانه‌ها را معین می‌کند

آستانه هشدار	آستانه هشدار توفان‌تندری	آستانه هشدار برق	نام شاخص و یکای مربوط
$475J / Kg <$	$140J / Kg <$	-	شاخص (CAPE) ژول برکیلوگرم
$200 <$	$150 <$	-	شاخص (SWEAT)
$< -2^{\circ}C$	$< 0^{\circ}C$	$< +2^{\circ}C$	شاخص شوالتر (SI($^{\circ}C$))
$< -2.5^{\circ}C$	$< -1^{\circ}C$	$< +2^{\circ}C$	شاخص صعود (LI($^{\circ}C$))
$30^{\circ}C <$	$28^{\circ}C <$	$24^{\circ}C <$	شاخص K (KI($^{\circ}C$))
$50^{\circ}C <$	$48^{\circ}C <$	$46^{\circ}C <$	شاخص مجموع‌ها (TT($^{\circ}C$))
$775hPa <$	-	-	فشار سطح (LCL (hPa))
$280K <$	$278K <$	$276K <$	دماهی سطح (T _{LCL} ($^{\circ}K$))
$640hPa <$	$610hPa <$	-	سطح (LFC) هکتوپاسکال
$< 280hPa$	$< 340hPa$	$< 400hPa$	سطح تعادل (EL) هکتوپاسکال
$9g / Kg <$	$8g / Kg <$	$6g / Kg <$	نسبت آمیزه میانگین لایه مخلوط

کتابنامه

امینی، ل؛ ۱۳۷۹. بررسی انرژی پتانسیل در دسترس در یک سیستم همرفتی. پایان نامه کارشناسی ارشد، دانشگاه تربیت مدرس، دانشکده منابع طبیعی و علوم دریابی نور. به راهنمایی هوشنج قائمی.

امیدوار، کمال، و همکاران؛ ۱۳۹۲. واکاوی ترمودینامیکی بارشهای سنگین ناشی از پدیده سردچال در نواحی مرکزی و جنوب غرب ایران (مطالعه موردی: رخداد بارش ۱۱ آذر ۱۳۸۷)؛ جغرافیا و مخاطرات محیطی، شماره ۵: صص ۱-۱۹.

شایی‌زاد، ح؛ صالحی، ح؛ بابائیان؛ ۱۳۸۹. تحلیل سینوپتیکی و دینامیکی پدیده‌های همرفتی محلی به منظور بهبود پیش‌بینی آن‌ها. چهاردهمین کنفرانس ژئوفیزیک ایران، تهران اردیبهشت ۸۹ صص ۲۳۴-۲۳۷.

صادقی حسینی، ع؛ رضائیان، م؛ ۱۳۸۵. بررسی تعدادی از شاخص‌های ناپایداری و پتانسیل بارورسازی ابرهای همرفتی منطقه اصفهان؛ مجله فیزیک زمین و فضا، ۳۲(۲): ۸۳ تا ۹۸.

عبدمنافی، د؛ ۱۳۸۳. بررسی شاخص‌های ناپایداری، برش قائم باد و وضعیت‌های رطوبتی در هنگام نزول تگرگ در تهران. پایان نامه کارشناسی ارشد، دانشگاه آزاد واحد تهران شمال. به راهنمایی حسن عسکری شیرازی و مشاوره حسن خالقی زواره.

- Abdemanafi, D., 2002. Analysis of instability indices, vertical wind shear and humidity conditions during hail in Tehran. M.Sc. Thesis, Islamic Azad University of Tehran shomal. Supervisor: H., Askari Shirazi.
- Amini, L., 2000. Analysis of available potential energy in a convective system, M.Sc. Thesis, Tarbiat Modares University. Supervisor: H., Ghaemi.
- Costa, S., Mezzasalam, P., Levizzani, V., Alberoni, P., and Nanni, S., 2001. Deep convection over Northern Italy: synoptic and thermodynamic analysis. *Atmospheric Research* 56, 73- 88
- Craven, J.P., H.E. Brooks, 2004. Baseline Climatology of Sounding Derived Parameters Associated with Deep, Moist Convection. *National Weather Digest*, 28: 13-24.
- Dahl, J. M. L., 2006. Supercells, Their Dynamics and Prediction. M.sc. Thesis, Institute of Meteorology, Free University of Berlin, Germany.
- Galway, J. G., 1956. The lifted index as a predictor of latent instability. *Bulletin of the American Meteorological Society* 37, 528–529.
- Gottlieb, R. J., 2009. Analysis of Stability Indices for Severe Thunderstorms in the Northeastern United States. M.Sc. Thesis, Cornell University, Ithaca, USA
- Groenemeijer, P., 2005. Sounding-derived parameters associated with severe convective storms in the Netherlands. M.Sc. thesis, Institute of Marine and Atmospheric research Utrecht (IMAU), The Netherlands
- Haklander, A. J., A. Van Delden, 2003. Thunderstorm predictors and their forecast skill for the Netherlands. *Atmospheric Research* 67-68: 273-299.
- Huntrieser, H., H.H. Schiesser, W. Schmid, and A. Waldvogel, 1997. Comparison of traditional and newly developed thunderstorm indices for Switzerland. *Weather Forecasting* 12, 108-125.
- Krauss, T. W., Santos, J. R., 2004. exploratory analysis of the effect of hail suppression operations on precipitation in Alberta: *Atmospheric Research*, 71, 35-50.
- LaPenta, K.D., G.J. Malagras, J.W. Center, S.A. Munafó, and C.J. Alonge, 2002. An updated look at some severe weather forecast parameters. Eastern Region Technical Attachment No. 1.
- Manzato, A., and Morgan Jr. G., 2003. Evaluating the sounding instability with the lifted parcel theory: *Atmospheric Research* 67-68, 455-473.
- Marinaki, A., M. Spiliotopoulos, and H. Michalopoulou, 2006. Evaluation of Atmospheric Instability Indices in Greece. *Advances in Geosciences* 7, 131–135.
- Moncrieff, M.W. M.J. Miller, 1976. The dynamics and simulation of tropical cumulonimbus and squall lines. *Royal Meteorological Society* 102: 373-394.
- Sadeghi Hosseini, A., Rezaeian, M., 2004. Analysis of some instability indices and convective cloud seeding potential in Isfahan. *Earth and space physics*. 32(2): pp 83-98.
- SanaeiNejad, H., Salehi, H., Babaeian, I., 2009. Dynamic and Synoptic Analysis of convective local phenomena. 14th Geophysics Conference of Iran. Tehran. pp 234-237.
- Showalter, A. K., 1953. A stability index for thunderstorm forecasting. *Bulletin of the American Meteorological Society* 34: 250-252.

- Simoenov, P., and Georgiev, C. G., 2001. A case study of tornado-producing storm south of Rhodopes Mountain in the Eastern Mediterranean: Atmospheric Research, 57: 187-199.
- Siotas, M. V. and Flocas, H. A., 2003. Hailstorms in Northern Greece: synoptic patterns and thermodynamic environment. Theoretical and Applied Climatology 75: 189–202.
- Thompson, R. L., R. Edwards, J. A. Hart, K. L. Elmore, and P. Markowski, 2003. Close proximity soundings within supercell environments obtained from the Rapid Update Cycle. Weather Forecasting 18: 1243-1261.
- Tuschi, H., 2009. Examination of severe thunderstorm outbreaks in Central Europe. M.sc. Thesis, University of Innsbruck, Austria.

